

· 实验研究 ·

STIP1对胶质瘤U251细胞增殖、侵袭和凋亡的影响

娄志刚 袁 波 谭占国

【摘要】目的 探讨下调磷酸化应激诱导蛋白1(STIP1)表达对胶质瘤U251细胞增殖、侵袭和凋亡的影响,及其对JAK2/STAT3信号通路的调控作用。方法 免疫印迹法检测体外培养的正常胶质细胞(SVG)和人胶质瘤细胞(U251、U87和U37)STIP1蛋白表达水平。NC-siRNA或STIP1-siRNA质粒转染U251细胞,CCK-8法检测U251细胞增殖;Transwell实验检测U251细胞侵袭能力;流式细胞术检测U251细胞凋亡率;免疫印迹法检测JAK2/STAT3信号通路蛋白表达水平。结果 与正常胶质细胞SVG比较,胶质瘤细胞U251、U87和U373的STIP1蛋白表达水平均明显增高($P<0.05$)。与NC-siRNA组比较,STIP1-siRNA组STIP1蛋白表达水平、细胞增殖活力和细胞侵袭力明显降低($P<0.05$),细胞凋亡率明显增高($P<0.05$),而且,p-JAK2和p-STAT3蛋白表达水平明显降低($P<0.05$)。结论 STIP1在胶质瘤细胞中呈高表达,抑制STIP1表达可以抑制胶质瘤细胞的增殖和侵袭、促进凋亡,机制可能与抑制JAK2/STAT3信号通路有关。

【关键词】胶质瘤;U251细胞;磷酸化应激诱导蛋白1;JAK2/STAT3信号通路;细胞增殖;细胞侵袭;细胞凋亡;基因沉默

【文章编号】1009-153X(2020)12-0847-04 **【文献标志码】**A **【中国图书资料分类号】**R 739.41; Q 786

Effects of STIP1 on proliferation, invasion and apoptosis of glioma U251 cells

LOU Zhi-gang, YUAN Bo, TAN Zhan-guo. Department of Neurosurgery, Luohe Central Hospital, Luohe 462000, China

【Abstract】 Objective To investigate the effect of stress-induced phosphoprotein 1 (STIP1) on the proliferation, invasion and apoptosis of glioma U251 cells. **Methods** Western-blot test was used to detect the expression level of STIP1 protein in normal glioma cells (SVG) and human glioma cell lines U251, U87 and U37. The NC-siRNA STIP1-siRNA plasmids were transfected into U251 cells, respectively. CCK-8 method was used to detect cell proliferation. Transwell test was used to detect cell invasion. Annexin-V-FITC/PI flow cytometry was used to detect cell apoptosis. Western-blot test was used to detect the protein expression levels of STIP1, JAK2, p-JAK2, STAT3 and p-STAT3. **Results** Compared with normal glioma SVG, the expression levels of STIP1 protein in glioma cell lines U251, U87 and U373 significantly increased ($P<0.05$). Compared with the NC-siRNA group, the expression levels of STIP1, p-JAK2 and p-STAT3, and the abilities of cell proliferation activity, cell invasiveness significantly decreased ($P<0.05$), while the cell apoptosis rate significantly increased ($P<0.05$). **Conclusion** STIP1 is highly expressed in glioma cells. Inhibiting STIP1 expression can inhibit the proliferation and invasion of glioma cells, promote cell apoptosis, which may be related to inhibit the JAK2 / STAT3 signaling pathway.

【Key words】 Glioma; U251 cells; Stress-induced phosphoprotein 1; Cell proliferation; Cell invasion; Cell apoptosis

胶质瘤是颅内常见肿瘤,预后较差,总体生存时间约14.6个月,术后5年生存率仅9.8%^[1]。寻找胶质瘤的新型分子生物学标志物是临床研究重点之一。磷酸化应激诱导蛋白1(stress-induced phosphoprotein 1, STIP1)是一种真核细胞蛋白质,与细胞增殖、侵袭、迁移和凋亡等密切相关^[2-4]。研究发现JAK2/STAT3信号通路在胶质瘤的发生和发展中具有重要作用^[5,6]。本文通过RNA干扰技术抑制胶质瘤细胞STIP1的表达,观察细胞增殖、侵袭和凋亡的变化,并研究对JAK2/STAT3信号通路的调控作用。

1 材料与方法

1.1 细胞培养及转染 正常胶质细胞SVG、人胶质瘤细胞U251、U87和U373(中科院上海细胞库)接种于含10%胎牛血清、1%链霉素的DMEM培养基(北京迈瑞达科技有限公司)中培养。待细胞融合度达80%时进行传代,取5~15代、对数生长期且生长状态良好的细胞进行后续实验。

随机将U251细胞分为阴性对照组(NC-siRNA组)和沉默组(STIP1-siRNA组),设置4个复孔。当细胞融合度达80%时,用Lipofectamine 2000[生工生物工程(上海)股份有限公司]转染NC-siRNA或STIP1-siRNA。质粒由上海吉凯基因科技有限公司设计并提供。NC-siRNA序列5'-GGAGACTACC

AGAAGGCTTAT-3'; STIP1-siRNA 序列 5'-GCT ACTCCGAAGCTATTAAAGC-3'。以 2×10^5 个细胞/孔密度将U251细胞接种于6孔板中。转染前用PBS洗涤细胞2次,加入1.8 ml无血清培养基。分别用100 μ l无血清培养基稀释10 μ l转染液和10 ml STIP1-siRNA(或者NC-siRNA),静置5 min后将二者混匀,随后将混合物加入6孔培养板中。转染48 h后提取总蛋白。

1.2 免疫印迹法检测STIP1、JAK2、p-JAK2、STAT3、p-STAT3蛋白表达水平 用RAPI裂解液提取总蛋白,10% SDS-PAGE电泳分离蛋白,用半干转移法将蛋白转至PVDF膜。5%脱脂奶粉封闭2 h,加入STIP1(1:500)、JAK2(1:1 000)、p-JAK2(1:1 000)、STAT3(1:1 000)、p-STAT3(1:1 000)和 β -actin(1:3 000)一抗(武汉艾美捷科技有限公司),4℃过夜孵育;用TBST缓冲液洗涤3次后加入二抗(羊抗兔,1:500)封闭1 h。最后用ECL法显色,FP-UVCI-2100型凝胶成像仪(美国Major Science公司)拍照,用Image J软件分析灰度值。

1.3 CCK-8法检测细胞增殖 取转染48 h后对数生长期细胞,以 1×10^4 个/孔密度接种于96孔板中,每孔100 μ l。待细胞贴壁后,培养24、48、72、96 h时加入10 μ l CCK-8溶液[生工生物工程(上海)股份有限公司],培养2 h后用美国Bio-Rad公司生产的680型酶标仪(波长设置为450 nm)检测光密度值(optical density, OD)。设置4个复孔。

1.4 Transwell实验检测细胞侵袭能力 首先在Transwell迁移板[生工生物工程(上海)股份有限公司]上室铺基质胶,随后将两组对数生长期细胞接种于Transwell小室24孔板,以 2×10^5 个/ml密度将细胞加入上室(每孔100 μ l),下室中加入含胎牛血清的培养基(250 μ l/孔)。待细胞贴壁后更换上室培养液,培养24 h。用无菌棉签拭去小室滤膜上的细胞,甲醛固定15 min,HE染色,光镜(100倍)下统计膜背面侵袭的细胞数。设置4个复孔。

1.5 Annexin-V-FITC/PI流式细胞术检测细胞凋亡 试剂盒购于生工生物工程(上海)股份有限公司。取转染48 h后对数生长期细胞,用500 μ l预冷1×结合缓冲液将细胞制成 1×10^6 个/ml的悬液。随后加入5 μ l FITC,混匀后孵育10 min。加入2.5 μ l PI,孵育5 min。最后用FACSCanto II型流式细胞仪(美国BD公司)检测细胞凋亡率。设置4个复孔。

1.6 统计学方法 采用SPSS 22.0软件分析;计量资料用 $\bar{x}\pm s$ 表示,用单因素方差分析或t检验; $P<0.05$ 为差

异有统计学意义。

2 结果

2.1 STIP1在胶质瘤细胞中的表达 与正常胶质细胞SVG比较,胶质瘤细胞U251、U87和U373的STIP1蛋白表达水平均明显增高($P<0.05$;图1)。

2.2 下调STIP1对U251细胞增殖、侵袭和凋亡的影响 与NC-siRNA组比较,STIP1-siRNA组STIP1蛋白表达水平、细胞增殖活力和细胞侵袭力均明显降低($P<0.05$),而细胞凋亡率明显增高($P<0.05$)。见图2~5。

2.3 下调STIP1对JAK2/STAT3信号通路的影响 与NC-siRNA组比较,STIP1-siRNA组p-JAK2和p-STAT3蛋白表达水平明显降低($P<0.05$),两组JAK2和STAT3总蛋白表达水平无统计学差异($P>0.05$)。见图6。

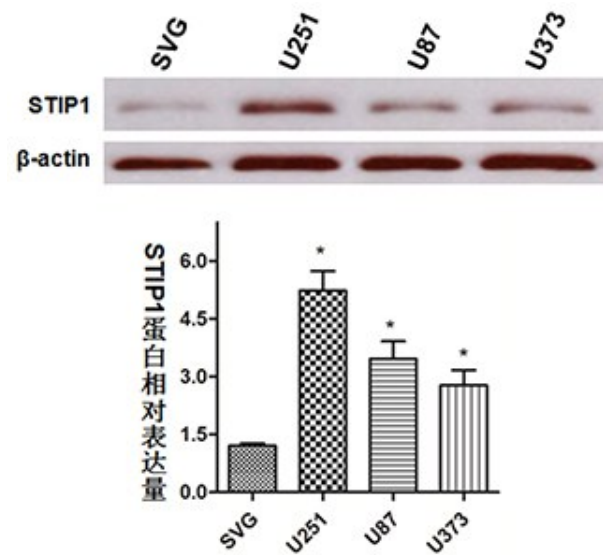


图1 正常胶质细胞和人胶质瘤细胞STIP1蛋白表达水平比较

与SVG组相比,* $P<0.05$;SVG. 正常胶质细胞;U251、U87、U373. 胶质瘤细胞系

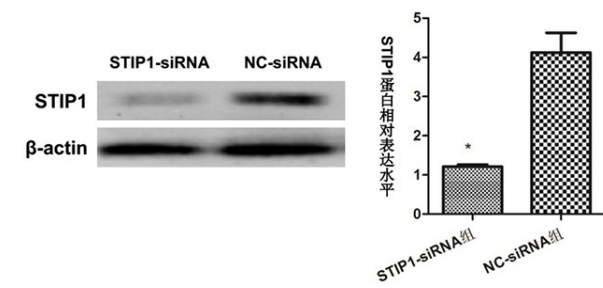


图2 转染siRNA对U251细胞STIP1蛋白表达的影响
与NC-siRNA组比较,* $P<0.05$

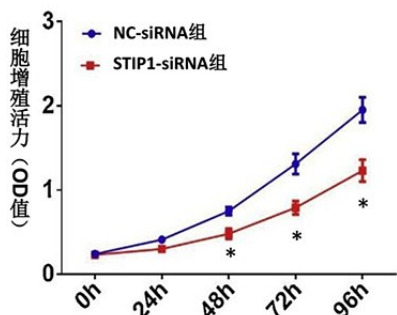


图3 下调STIP1对U251细胞增殖活力的影响
与NC-siRNA组比较,* $P<0.05$

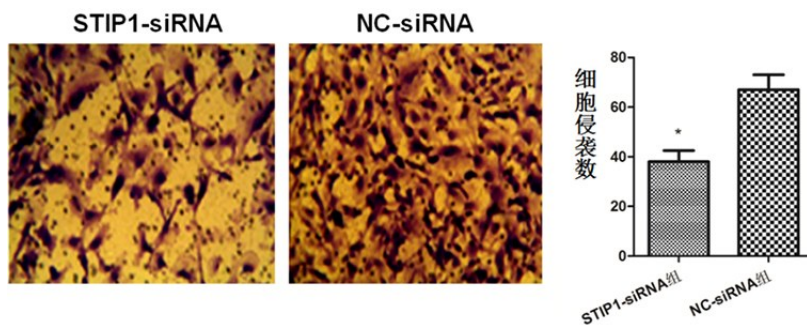


图4 下调STIP1对U251细胞侵袭力的影响
与NC-siRNA组比较,* $P<0.05$

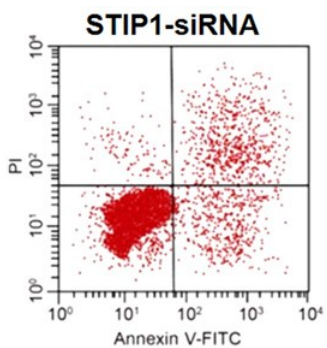


图5 下调STIP1对U251细胞凋亡率的影响
与NC-siRNA组比较,* $P<0.05$

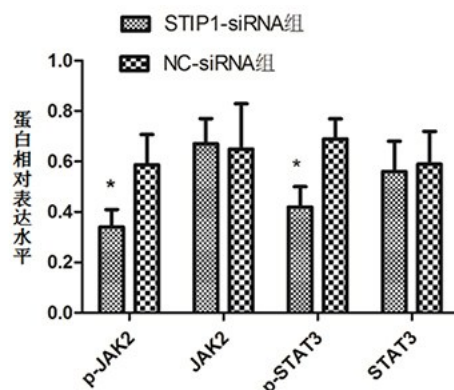
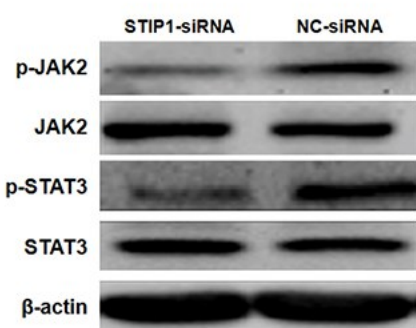
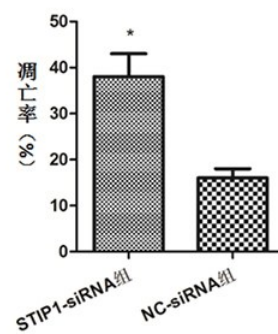
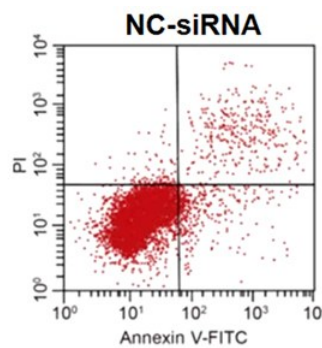


图6 下调STIP1对U251细胞JAK2/STAT3信号通路的影响
与NC-siRNA组比较,* $P<0.05$

3 讨论

STIP1 也被称为 HPS70/HSP90 组织蛋白,可以与热休克蛋白家族成员相互作用,参与 RNA 剪接、转录和蛋白折叠^[7]。STIP1 也是细胞朊病毒蛋白的细胞膜配体,二者集合后在细胞生长和分化中起到重要作用^[7]。研究证实,STIP1 与肿瘤的发生和发展密切相关^[2-4]。本研究发现,与正常胶质细胞 SVG 比较,胶质瘤细胞 U251、U87 和 U373 的 STIP1 蛋白表

达水平明显增高,提示 STIP1 可能参与胶质瘤的发生。由于 U251 细胞 STIP1 蛋白表达水平最高,因此我们选择该细胞进行后续研究;结果显示,沉默 STIP1 基因表达,U251 细胞增殖活力和侵袭力明显降低,而细胞凋亡率明显增高,说明 STIP1 与胶质瘤细胞的增殖、侵袭和凋亡密切相关,而这些细胞生物学行为又与胶质瘤进展相关,因此 STIP1 可能参与了胶质瘤进展。

STIP1 在肿瘤发生、发展中的作用机制既往少有

报道。有研究发现 STIP1 能通过激活 FAK/AKT/MMP 信号通路促进肿瘤细胞的侵袭和迁移^[8]; 通过激活 TRAP1/AKT 信号通路促进胶质瘤细胞的增殖, 抑制凋亡^[9]。JAK2/STAT3 是由细胞因子刺激的信号转导通路, 参与胶质瘤细胞的增殖、分化、凋亡和免疫调节等多种重要的生物学过程^[5]。抑制 JAK2/STAT3 信号通路可以诱导胶质瘤细胞自噬并促进凋亡^[10]。本研究发现, 抑制 STIP1 表达, p-JAK2 和 p-STAT3 水平明显降低, 说明 STIP1 可能通过 JAK2/STAT3 信号通路影响胶质瘤细胞的增殖、侵袭和凋亡。与 Guo 等^[4]报道一致。另外, 应激诱导的 STIP1 高表达可以通过 JAK2/STAT3 信号通路促进黑色素瘤细胞的增殖、迁移和侵袭^[8]。

综上所述, STIP1 在胶质瘤细胞中呈高表达, 抑制 STIP1 表达可以抑制胶质瘤细胞的增殖和侵袭、促进凋亡, 机制可能与抑制 JAK2/STAT3 信号通路有关。

【参考文献】

- [1] Fatehi M, Hunt C, Ma R, et al. Persistent disparities in survival for patients with glioblastoma [J]. World Neurosurg, 2018, 120: e511–e516.
- [2] Chao A, Lai CH, Tsai CL, et al. Tumor stress-induced phosphoprotein1 (STIP1) as a prognostic biomarker in ovarian cancer [J]. PLoS One, 2013, 8(2): 1–9.
- [3] Krafft U, Tschirdehn S, Hess J, et al. STIP1 tissue expression is associated with survival in chemotherapy-treated

(上接第 846 页)

- [8] Schiavone S, Neri M, Trabace L, et al. The NADPH oxidase NOX2 mediates loss of parvalbumin interneurons in traumatic brain injury: human autoptic immunohistochemical evidence [J]. Sci Rep, 2017, 7(1): 8752.
- [9] Devyatov AA, Fedorova TN, Stvolinskii SL, et al. Assessment of oxidative status of the brain and blood plasma in rats with modeled focal cerebral ischemia/reperfusion injury [J]. Bull Exp Biol Med, 2017, 163(2): 195–198.
- [10] Swardfager W, Yu D, Scola G, et al. Peripheral lipid oxidative stress markers are related to vascular risk factors and subcortical small vessel disease [J]. Neurobiol Aging, 2017,

bladder cancer patients [J]. Pathol Oncol Res, 2020, 26(2): 1243–1249.

- [4] Guo X, Yan Z, Zhang G, et al. STIP1 Regulates proliferation and migration of lung adenocarcinoma through JAK2/STAT3 signaling pathway [J]. Cancer Manag Res, 2019, 11: 10061–10072.
- [5] Tang J, Xu J, Zhi Z, et al. MiR-876-3p targets KIF20A to block JAK2/STAT3 pathway in glioma [J]. Am J Transl Res, 2019, 11(8): 4957–4966.
- [6] Zhong C, Tao B, Chen Y, et al. B7-H3 regulates glioma growth and cell invasion through a JAK2/STAT3/slugg-dependent signaling pathway [J]. Onco Targets Ther, 2020, 13: 2215–2224.
- [7] Kituyi SN, Edkins AL. Hop/STIP1 depletion alters nuclear structure via depletion of nuclear structural protein emerin [J]. Biochem Biophys Res Commun, 2018, 507(1–4): 503–509.
- [8] Jing Y, Liang W, Liu J, et al. Stress-induced phosphoprotein 1 promotes pancreatic cancer progression through activation of the FAK/AKT/MMP signaling axis [J]. Pathol Res Pract, 2019, 215(11): 152564.
- [9] Yin H, Deng Z, Li X, et al. Down-regulation of STIP1 regulate apoptosis and invasion of glioma cells via TRAP1/AKT signaling pathway [J]. Cancer Genet, 2019, 237: 1–9.
- [10] Mukthavaram R, Ouyang X, Saklecha R, et al. Effect of the JAK2/STAT3 inhibitor SAR317461 on human glioblastoma tumorspheres [J]. J Transl Med, 2015, 13: 269–276.

(2020-06-01 收稿, 2020-10-08 修回)

59: 91–97.

- [11] 袁丽伟, 张晶, 冯宏娟, 等. 维生素C和维生素D3水平对女性抗氧化能力影响[J]. 中国公共卫生, 2019, 35(4): 451–454.
- [12] 张泽慧, 张晶, 马莹, 等. 维生素C联合低剂量维生素D3对溃疡性结肠炎豚鼠氧化应激的影响[J]. 营养学报, 2019, 41(1): 53–57.
- [13] 师豪, 黄世龙, 张孟柯, 等. 原花青素联合维生素E对动脉粥样硬化大鼠血脂及抗氧化的影响[J]. 中国老年学杂志, 2019, 39(4): 889–893.

(2019-05-23 收稿, 2020-02-18 修回)